

ИНСТРУМЕНТАЛЬНЫЙ ГРАФОАНАЛИТИЧЕСКИЙ СПОСОБ ОПРЕДЕЛЕНИЯ ЭЛЕМЕНТОВ ПРИВЕДЕНИЯ

В зависимости от размеров линейных элементов приведения за внецентренную установку основного теодолита и визирной цели применяют графический или аналитический способ их определения, или способ непосредственных замеров [4, 6].

Поправки для приведения измеренных направлений к центрам геодезических знаков вычисляют по формулам

$$c'' = \frac{e \cdot \rho''}{S} \sin(\theta + M), \quad (1)$$

$$r'' = \frac{e_1 \cdot \rho''}{S} \sin(\theta + M), \quad (2)$$

где e и e_1 , θ и θ_1 — линейные и угловые элементы приведения за внецентренную установку основного теодолита и визирной цели соответственно; S — расстояние от станции к наблюдаемой визирной цели; M — угол между начальным и текущим направлениями; ρ'' — 206265".

Погрешности поправок c'' и r'' в значительной мере определяют точность данного геодезического построения. Поэтому повышение точности значений этих поправок является важной задачей.

В производственных условиях широко распространен и чаще, чем все остальные, применяется графический способ определения элементов приведения. При этом, согласно [6, 7], длины сторон треугольников погрешностей не должны превышать 10 мм для оси визирной цели, 5 мм — для оси вращения теодолита и 3 мм — для центра знака.

Анализ (1) и (2) показывает, что погрешности в определении положения оси визирной цели, вертикальной оси вращения теодолита и центра знака в одинаковой мере влияют на точность поправок в наблюдаемые направления.

Размеры сторон треугольников погрешностей определяются в основном следующими факторами:

1) ценой деления цилиндрического уровня проектирующего теодолита и точностью установки вертикальной оси его в отвесное положение;

2) качеством юстировки проектирующего теодолита;

3) высотой расположения проектирующих точек и высотой проектирующего теодолита относительно поверхности центрировочного столика;

4) величиной наклона поверхности центрировочного столика и оси визирной цели;

5) точностью совмещения центририра [1] с вертикальной осью основного теодолита;

6) отклонениями центрира и визирной цели от правильной геометрической формы и ребристой поверхностью ее конструкции.

На размеры сторон треугольников погрешностей может влиять и то, что с разных установок проектирующего теодолита каждый раз на центрировочный столик проектируются различные точки центрира возможно неправильной геометрической формы, так как в качестве их используются иногда вспомогательные приспособления.

Отмеченное в определенной мере может иметь место и при проектировании осей визирных целей, которые еще больше отступают от правильной геометрической формы, а положение их осей — от отвесных линий. Поэтому на центрировочный столик (как бы тщательно не проводились работы) проектируют не вертикальные оси основного теодолита и визирной цели, а некоторые точки, расположенные на них, а это может привести к образованию недопустимых треугольников погрешностей. Чтобы уложиться в лимитированные инструкциями допуски, наблюдатели зачастую выбирают фиксированные точки на центрире, а вместо центра визирной цели проектируют некоторую точку оси болванки, на которой крепится визирная цель, или оси штыря, выступающего над визирной целью [5]. Такое решение приводит к искажению элементов приведения и приведенных направлений.

Из [6] следует, что если линейные элементы приведения e не превышают 10 см, то соответствующие угловые элементы θ можно определять с точностью до 2° . При значениях e 10...20 см их можно определять с точностью до 1° . Если же линейные элементы превышают 20 см, то точность определения угловых элементов не должна быть ниже $0,5^\circ$.

Для измерения угловых элементов θ используют визирную линейку и топографический транспортир. Но эти приспособления обеспечивают низкую точность определения их, особенно при малых значениях линейных элементов приведения. Сами искажения при этом могут выходить далеко за пределы 2° . При больших значениях линейных элементов достижение требуемой точности определения угловых элементов трудновыполнимо и не всегда возможно.

Из элементарных расчетов следует, что для получения поправки в направление за внецентренную установку основного теодолита и визирной цели с точностью до $0,1''$ на знаках до 30 м в триангуляции 4 класса в качестве проектирующего следует использовать теодолит с ценой деления цилиндрического уровня не более $4\dots7''$, в триангуляции 2 и 3 класса — не более $15''$, а в триангуляции 1 класса — не более $30''$. Эти расчеты сделаны из тех соображений, что установку в рабочее положение проектирующего теодолита производили с точностью до половины деления цилиндрического уровня при алидаде горизонтального круга. Заметим также, что графический способ определения элементов приведения весьма чувствителен к метеорологическим факторам, а сам процесс проектирования малоточный, особенно в том случае, когда центрировочный столик располагается несколько выше горизонтальной оси проектирующего теодолита.



Рис. 1. Редукционно-ориентирующее устройство.

Нулевой штрих ее совмещен с вертикальной осью теодолита (см. рис. 1). Учитывая то, что измеряемые линейные элементы могут иметь значительные размеры, редукционную рееку целесообразно изготавливать разборной, складывающейся или раздвижной с малой парусностью. Планшет изготавливают также из легкого и прочного белого материала или поверхность его покрывается светлой краской, по которой хорошо пишет и легко вытирается резинкой карандаш.

Сущность определения элементов приведения предлагаемым способом заключается в следующем. С трех обычных установок проектирующего теодолита измеряют по два частных линейных элемента h_1 и h'_1 , ψ_1 и ψ'_1 путем отсчитывания на редукционной рееке 3 (см. рис. 1) при двух ее установках проекции вертикальных осей инструмента и визирной цели соответственно с фиксацией по горизонтальному кругу ориентирующего теодолита 1 направлений M_1 и M_2 , которым они соответствуют. По этим данным с помощью планшета (см. рис. 2) определяют элементы приведения.

Порядок работы на станции. 1. Над центром знака на штативе устанавливают ориентирующий теодолит 1 (см. рис. 1), центрируют и ориентируют его по начальному направлению. За начальное направление целесообразно брать такое, по которому сущ-

ствует видимость с Земли. Если же такой видимости нет, то начальное направление отмечают на Земле вехой в процессе наблюдений со столика сигнала.

2. Устанавливают редукционную реечку 3 (см. рис. 1) в горизонтальное положение и производят поверку перпендикулярности ее визирной оси зрительной трубы. Эту поверку можно выполнить с помощью проектирующего теодолита, если провизировать на него ориентирующий теодолит 1, а затем повернуть его алидаду на 90° . При этом плоскость редукционной реечки должна совпадать с направлением визирной оси проектирующего теодолита.

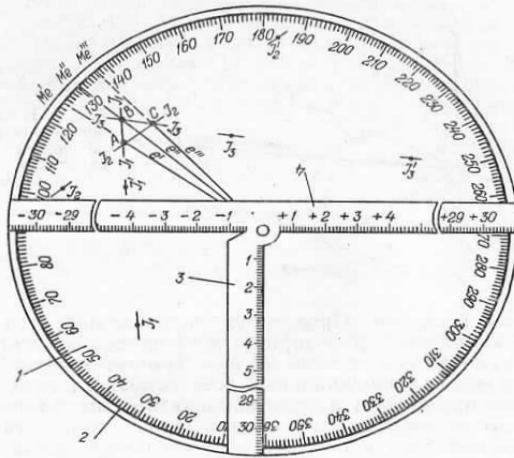


Рис. 2. Планшет.

дать с направлением визирной оси проектирующего теодолита. Это условие может быть обеспечено и конструкцией крепления редукционной реечки.

3. На расстоянии одной-двух высот сигнала от центра знака выбирают точки 1, 2 и 3 (рис. 3) для установки проектирующего теодолита. Эти точки должны быть выбраны так, чтобы проектирующие плоскости располагались под углом друг к другу примерно на $60(120^\circ)$, а местные предметы и конструкции знака не закрывали инструментальный столик, визирную цель и редукционную реечку.

4. В каждой из выбранных трех точек поочередно устанавливают проектирующий теодолит, тщательно приводят его в рабочее положение. Производят приближенное визирование ориентирующим теодолитом, установленным над центром знака, на проектирующий. Поворачивают первый из них против хода часовой

стрелки приблизительно на 30° с таким расчетом, чтобы отсчет M_1 , снятый по его горизонтальному кругу, представлялся целым числом градусов. После этого с помощью проектирующего теодолита производят проектирование вертикальных осей основного теодолита (центрира) и визирной цели на редукционную реечку, сопровождая их соответствующими отсчетами по ней (h_1 и γ_1). Затем поворачивают ориентирующий теодолит по ходу часовой стрелки приблизительно на 60° и снова снимают отсчет по горизонтальному кругу M_2 , который также должен быть представлен це-

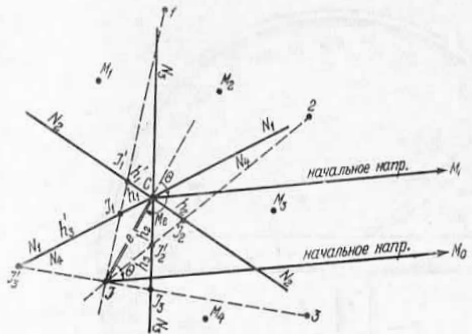


Рис. 3. К теории инструментального графоаналитического способа определения элементов приведения.

лым числом градусов. Проектируя вертикальные оси основного теодолита (центрира) и визирной цели на редукционную реечку, снова снимают по ней отсчеты h_1' и γ_1' соответственно.

Проектирование вертикальных осей основного теодолита и визирной цели в первом и втором случаях производят при двух положениях зрительной трубы проектирующего теодолита. Такие же действия выполняют и на двух остальных его установках. При этом целесообразно в процессе проектирования прибора (центрира) или визирной цели вертикальную нить проектирующего теодолита визировать на левые и правые их края. Если проекция центра знака на редукционную реечку отличается от нуля, то частные линейные элементы приведения следует вычислять по формулам

$$h = h' - c; \quad (3) \quad \gamma = \gamma' - c, \quad (4)$$

где $h' = \frac{1}{2}(h_a + h_n)$, $\gamma' = \frac{1}{2}(\gamma_a + \gamma_n)$, $c = \frac{1}{2}(c_a + c_n)$.

На рис. 3 показано проектирование только вертикальной оси основного теодолита (центрира). Здесь h_1 и h_1' — частные линейные элементы, полученные из первой установки проектирующего теодолита при ориентировании редукционной реечки 3 (см. рис. 1) по направлениям M_1 и M_2 . Элементы h_2 и h_2' , h_3 и h_3' получены из второй и третьей установок проектирующего теодолита при ориентировании редукционной реечки по направлениям M_2 и M_3 , M_3 и M_4 . Направления N_1-N_1 , N_2-N_2 , N_3-N_3 и N_4-N_4 со-

отвечают положению редукционной рееки при установках на горизонтальном круге ориентирующего теодолита отсчетов M_1 , M_2 , M_3 и M_4 .

5. На планшете 1 (см. рис. 2) поворачивают линейку 3 до установления на окружности 2 отсчета, равного M_1 . Отложив на шкале 4 элемент h_1 (с учетом его знака), получают на планшете точку J_1 . Таким же образом устанавливают на окружности 2 отсчет, равный M_2 , и по шкале 4 откладывают элемент h_1' и получают на планшете точку J_1' . Прочертив через точки J_1 и J_1' линию, получают след проектирующей плоскости, соответствующий первой установке проектирующего теодолита. Выполнив аналогичные построения для второй и третьей установок проектирующего теодолита, получают следы соответствующих плоскостей. С помощью шкалы 3 (см. рис. 2) измеряют расстояния e^i до трех вершин треугольника погрешностей, полученного при пересечении следов всех трех проектирующих плоскостей. Среднее из них

$$e = \frac{1}{3}(e' + e'' + e''') \quad (5)$$

принимают за линейный элемент приведения. По направлениям на все вершины треугольника погрешностей ABC (см. рис. 2) снимают отсчеты M на окружности планшета. Вычисляют среднее их значение

$$M_e = \frac{1}{3}(M_e' + M_e'' + M_e'''). \quad (6)$$

Угловой элемент приведения вычисляют по формуле

$$\theta = 180^\circ - M_e. \quad (7)$$

Выполняя аналогичные действия по данным визирной цели, получают линейные

$$e_1 = \frac{1}{3}(e_1' + e_1'' + e_1''') \quad (8)$$

и угловые

$$\theta_1 = 180^\circ - M_{e_1} \quad (9)$$

Элементы приведения за внецентренность визирной цели. Если же θ получаются с отрицательными знаками, то к ним нужно прибавить 360° . Правомерность соотношений (7) и (9) очевидна из рис. 3. Треугольник погрешности на рис. 2 представлен в увеличенном виде. По отклонениям величин e^i , e_1^i и M_e^i , $M_{e_1}^i$ от e , e_1 , M_e и M_{e_1} соответственно можно выполнить оценку точности определения линейных и угловых элементов приведения за внецентренную установку основного теодолита и визирной цели.

Если линейные элементы приведения большие и не помещаются на планшете или очень малы, то для удобства графических построений можно применить соответствующие масштабы.

Получив таким образом элементы e и θ , по известным формулам (1) и (2) вычисляют поправки c'' и r'' в соответствующие направления.

Относительно большой диаметр окружности на планшете позволяет откладывать и измерять углы на нем с точностью до $6'$.

Таблица 1

Результаты полевых измерений по определению элементов приведения

| Номер установки проектирующего теодолита | Направления, по которым была ориентирована редукционная реека, $M_p \dots$ | Частные линейные элементы за внецентренную установку | |
|--|--|--|--------------------------------|
| | | визирной цели T_1 , мм | основного теодолита h_1 , мм |
| 1 | 19 79 | -195 -189 | -275,5 -267,5 |
| 2 | 100 160 | +531 +502 | +442,5 +416,5 |
| 3 | 258 318 | -347 -349 | -248,5 -245 |

Таблица 2

Результаты камеральной обработки по определению элементов приведения

| Номер установки проектирующего теодолита | Значения вспомогательных углов, ... | | Значения линейных элементов приведения | |
|--|-------------------------------------|-------------|--|---------|
| | M_e^I | $M_{e_1}^I$ | e^I , мм | e_1^I |
| 1 | 81,1 | 70,0 | 465 | 500 |
| 2 | 81,0 | 69,9 | 462 | 496 |
| 3 | 80,9 | 69,8 | 463 | 497 |

В среднем $M_e = 81,0$ $M_{e_1} = 69,9$ $e = 463$ $e_1 = 498$

$$\theta = 180^\circ - M_e = 99,0^\circ$$

$$\theta_1 = 180^\circ - M_{e_1} = 110,1^\circ$$

а миллиметровые деления Т-образной линейки обеспечивают возможность откладывать с малыми погрешностями линейные элементы.

Предлагаемая методика позволяет во всех случаях существенно повысить точность определения угловых элементов приведения путем замены визирной линейки теодолитом, а топографического транспортира — кругом большого диаметра (планшетом). Этот метод удобно использовать для определения элементов приведения на пунктах, расположенных на курганах и других возвышенностях, когда проектирующий прибор располагается ниже центра пункта, в лесных районах и т. п.

Проиллюстрируем изложенное примером. Пусть в процессе определения элементов приведения при двух положениях вертикального круга проектирующего теодолита получены следующие значения (табл. 1). С помощью планшета (см. рис. 2) находят положения проекций вертикальных осей основного теодолита (центрира) и визирной цели. В табл. 2 приведены результаты камеральной обработки по определению элементов приведения, полученные с помощью построений на планшете. Тут же вычислены угловые $\theta(\theta_1)$ и линейные $e(e_1)$ элементы приведения. Из данных этой таблицы следует, что в угловых измерениях расхождения не превышают $0,2^\circ$, а в линейных элементах они не превышают 3...4 мм. На этом же пункте высотой 25...30 м определены угловые и

линейные элементы приведения графическим способом. Их значения указаны в табл. 3. Откуда следует, что значения линейных элементов, полученных графическим и предлагаемым способом, отличаются на 5...10 мм, а угловые — на 2...2,3°. По этим данным вычислены поправки за центрировку и редукцию по четырем направлениям. Значение отклонений их как для центрировки, так и для редукции при $S=5$ км в среднем составляет 0,2", а по отдельным направлениям они достигают 0,5 и 0,4" соответственно.

Из изложенного следует, что определение элементов приведения за внецентренную установку основного теодолита и визирной цели с помощью предложенного приспособления по разработанной методике практически во всех случаях повышает точность их определения. Кроме того, возможность удлинять плечи редукционной рееки до нужных размеров позволяет заменить не столь удобные и менее точные известные способы предлагаемым. Этот способ позволяет получить строго проекцию геометрического центра визирной цели и вертикальной оси теодолита (центрира), проектируя на редукционную рееку касание вертикальной нити проектирующего теодолита с левой и правой сторон. Ограниченные размеры центрировочного листа осложняют решение такой задачи графическим способом. Данные измерений предлагаемым способом обеспечивают возможность получения элементов приведения аналитическим путем, минуя графические построения. Кроме этого, с целью ослабления действия факторов 5) и 6), рассмотренных в начале статьи, рекомендуется изготавливать специальные центриры с уровнями, а визирные цели изготавливать правильной геометрической формы с уменьшением их рельефности за счет ребер центрированным способом.

Таблица 3
Значения угловых
и линейных элементов
приведения, полученных
различными способами

| Элементы приведения | Способы определения элементов приведения | |
|---------------------|--|--------------|
| | графический | предлагаемый |
| e , мм | 453 | 463 |
| e_1 , мм | 493 | 498 |
| 0° | 101,3 | 99,0 |
| 0°_1 | 112,1 | 110,1 |

Список литературы: 1. Ассуров В. Л., Кутузов М. Н. Высшая геодезия. — М.: Недра, 1979. — 397 с. 2. Баканова В. В. Геодезия. — М.: Недра, 1980. — 276 с. 3. Красовский Ф. Н., Данилов В. В. Руководство по высшей геодезии. — М.: Редбюро ГУГК при СНК СССР, 1939, ч. 1, вып. 2. — 409 с. 4. Рабинович Б. Н. Основы построения опорных геодезических сетей. — М.: Геодезиздат, 1954. — 378 с. 5. Судаков С. Г. Основные геодезические сети. — М.: Недра, 1975. — 367 с. 6. Инструкция о построении государственной геодезической сети СССР. — М.: Недра, 1966. — 340 с. 7. Инструкция по полигонометрии и триангуляции. — М.: Недра, 1976. — 360 с.